

Explicit renormalization group flow of entanglement entropy



Takato Mori



Based on work in progress;

see also S. Iso, **TM**, K. Sakai, 2103.05303 (PRD103, 105010),

S. Iso, **TM**, K. Sakai, 2105.02598 (PRD103, 125019),

S. Iso, **TM**, K. Sakai, 2105.14834 (Symmetry13, 1221)

エンタングルメントエントロピー (EE)

$$S_A = -\text{tr}_A (\rho_A \log \rho_A), \quad \rho_A = \text{tr}_{\bar{A}} \rho$$

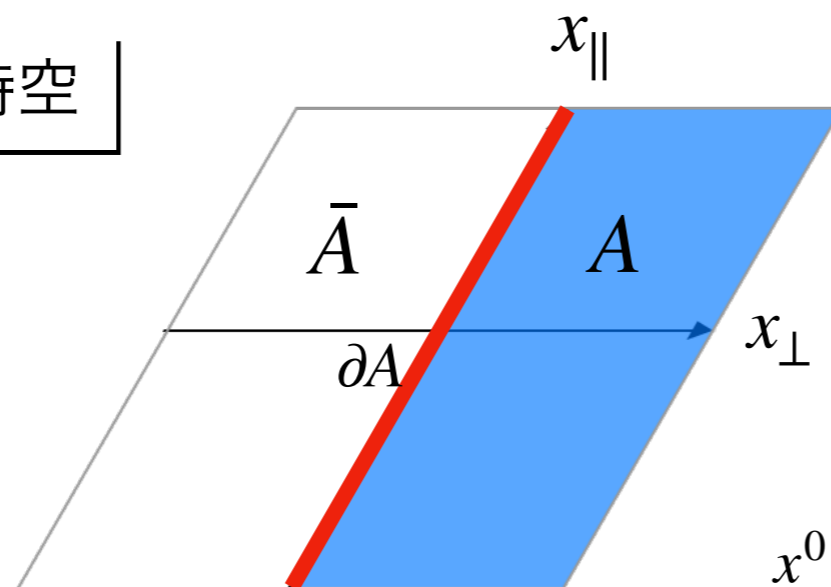
✓ 部分系Aと \bar{A} 間の量子相関を測る

✓ EEから定義される $C(A) = \left\{ l \frac{\partial}{\partial l} - (d-2) \right\} S_A(l)$ はくりこみ群

のもとで単調と考えられている (エントロピックc関数)

[Casini-Huerta 2004]

$(d+1)$ 次元時空



$x^0 = 0$ (constant time slice)

エンタングルメントエントロピー (EE)

$$S_A = -\text{tr}_A (\rho_A \log \rho_A), \quad \rho_A = \text{tr}_{\bar{A}} \rho$$

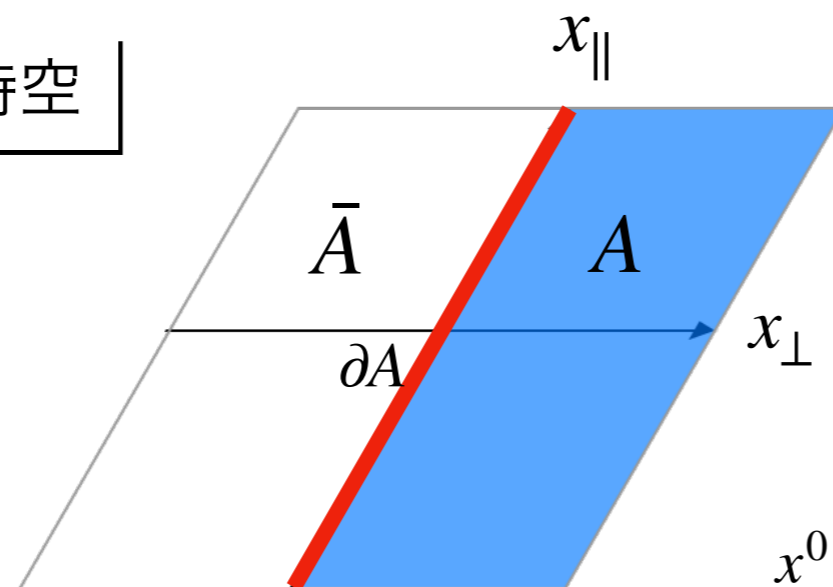
✓ 部分系Aと \bar{A} 間の量子相関を測る

✓ EEから 半空間のEEだけで何か言えないか? りこみ群

のもとで単調と考えられている (エントロピックc関数)

[Casini-Huerta 2004]

$(d+1)$ 次元時空



$x^0 = 0$ (constant time slice)

エンタングルメントエントロピー (EE)

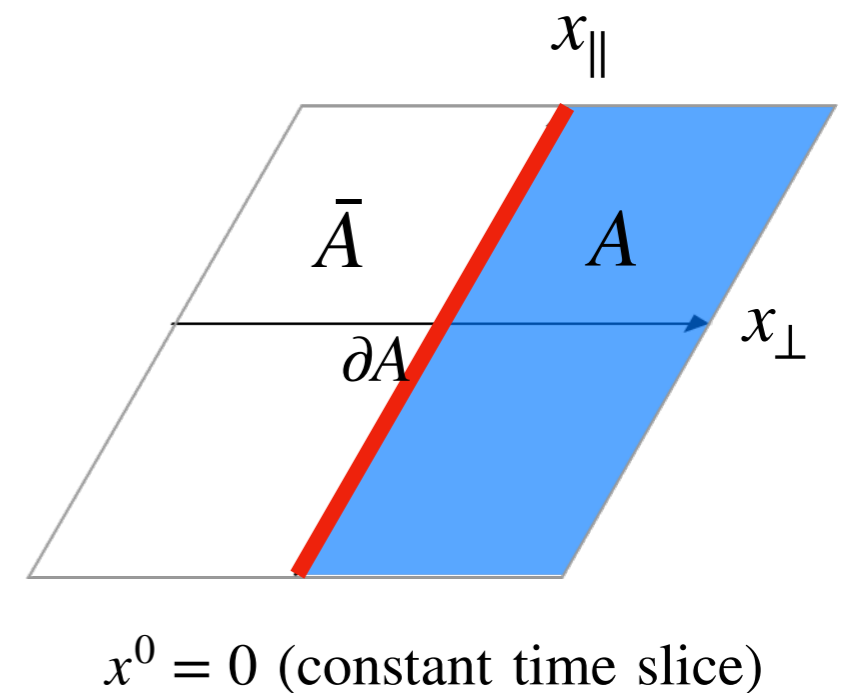
$$S_A = -\text{tr}_A (\rho_A \log \rho_A), \quad \rho_A = \text{tr}_{\bar{A}} \rho$$

✓ 共形場理論 (やホログラフィー)、自由場 (ガウシアン) の理論ではよく理解されている

Q. **相互作用する**有質量の場の理論では?
~~ガウシアン、共形対称性、重力双対~~

A. leadingの**半空間**のEEの寄与は、
摂動論の全次数で足しあげられる!

[Iso-TM-Sakai 2021]



Entanglement entropy of half space in general QFTs

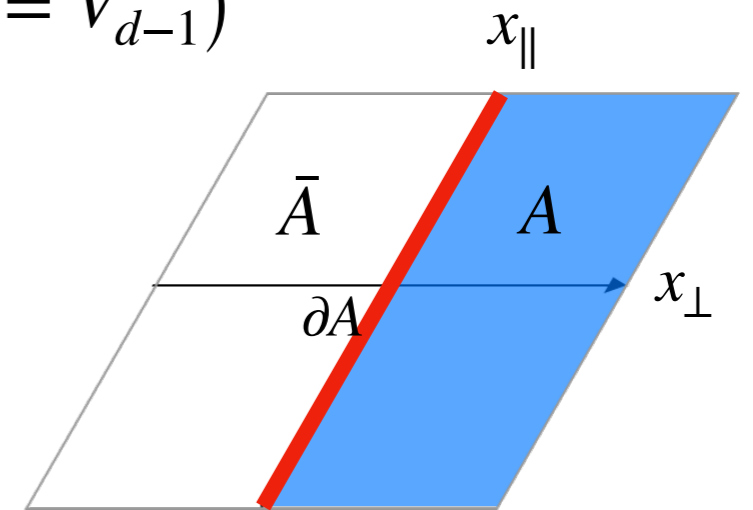
例：Scalar ϕ^4 theory in $(d + 1)$ dim. $\mathcal{L} = \frac{1}{2} (\partial\phi)^2 + \frac{1}{2} m^2 \phi^2 + \frac{\lambda}{4} \phi^4$

相関関数のくりこみ後、EEの低エネルギーで支配的な寄与は

$$S = \frac{\text{vol}(\partial A)}{12} \int \frac{d^{d-1} k_{\parallel}}{(2\pi)^{d-1}} \left[\log G_{\phi\phi}(\mathbf{0}, k_{\parallel}) + \log \left(1 - \frac{3}{2} \lambda G_{\phi^2\phi^2}(\mathbf{0}, k_{\parallel}) \right) \right]$$

- ✓ 自由場で一致
- ✓ 摂動の全次数まで足しあげた
- ✓ 相関関数は繰り込まれている
- ✓ 相互作用の効果は、切り開いた相互作用頂点から来る複合演算子の2点関数からくる

$$(\text{vol}(\partial A) = V_{d-1})$$



$$\phi^4 \text{ vertex} = {}_4C_2 [\phi^2] \text{ vertex} \dots [\phi^2] \text{ vertex}$$

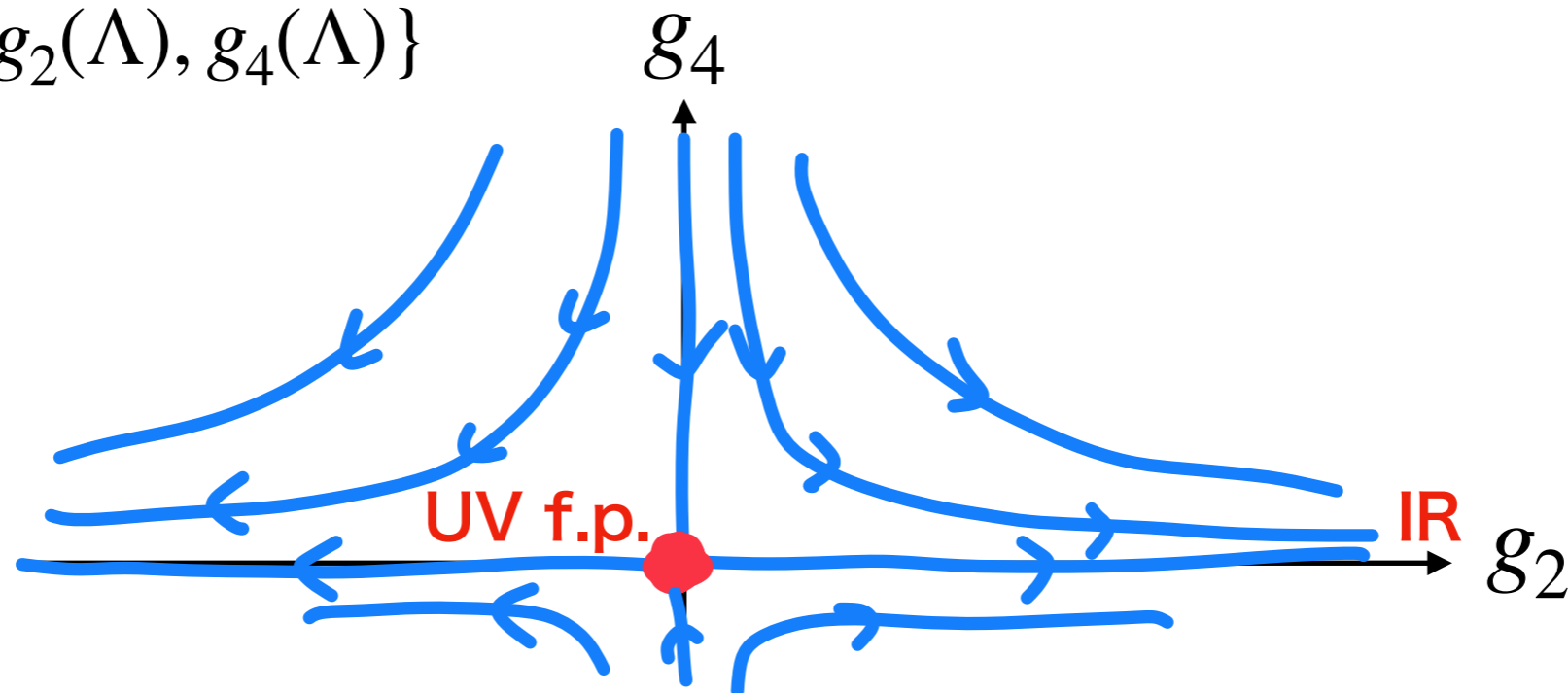
Renormalization group (RG) flow

- Wilson流くりこみの元で(cutoff)理論はUVからIRへ流れる

$$\int \mathcal{D}\phi_{k \leq \Lambda} e^{-S_\Lambda[\phi_{k \leq \Lambda}]} \underset{\text{integrate out}}{=} \int \mathcal{D}\phi_{k \leq \Lambda' < \Lambda} e^{-S'_{\text{eff}}[\phi_{k \leq \Lambda' < \Lambda}]} \underset{\text{rescale}}{=} \int \mathcal{D}\phi_{k \leq \Lambda} e^{-S_{\text{eff}}[\phi_{k \leq \Lambda}]}$$

無限小変換より、RG eq: free scalar $\frac{dg_2}{d \log \Lambda} = -2g_2$ $\left(g_2 \equiv \frac{m^2}{\Lambda^2} \right)$

理論空間 $\{g_2(\Lambda), g_4(\Lambda)\}$



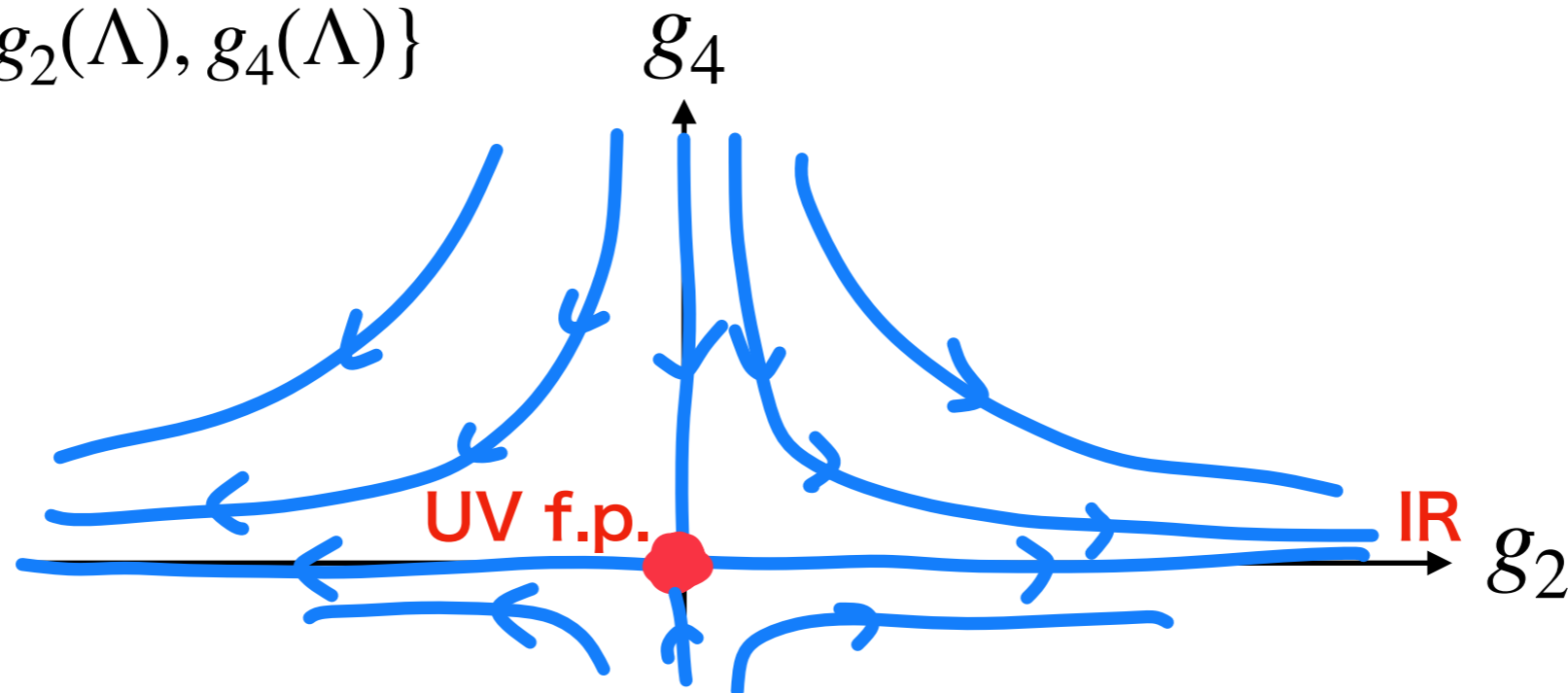
Renormalization group (RG) flow

- Wilson流くりこみの元で理論はUVからIRへ流れる

$$\int \mathcal{D}\phi_{k \leq \Lambda} e^{-S_\Lambda[\phi_{k \leq \Lambda}]} \xrightarrow[\text{out}]{\text{integrate}} \int \mathcal{D}\phi_{k \leq \Lambda' < \Lambda} e^{-S'_{\text{eff}}[\phi_{k \leq \Lambda' < \Lambda}]} \xrightarrow[\text{rescale}]{\text{in}} \int \mathcal{D}\phi_{k \leq \Lambda} e^{-S_{\text{eff}}[\phi_{k \leq \Lambda}]}$$

無限小変換 dg_2 半空間のEEのcutoff Λ dependence ? $\left(g_2 \equiv \frac{m^2}{\Lambda^2} \right)$

理論空間 $\{g_2(\Lambda), g_4(\Lambda)\}$



RG flow and monotonicity of EE in free scalar

- 例として自由スカラーを考える (他の自由場でも同様)

$$S = -\frac{V_{d-1}}{12} \int_{|k_{\parallel}|=\Lambda} \frac{d^{d-1}k_{\parallel}}{(2\pi)^{d-1}} \log \left[\frac{G_0^{-1}(k_{\parallel})}{M^2(\Lambda)} \right] \stackrel{\text{or}}{=} \frac{V_{d-1}}{12} \int_0^{\infty} \frac{d^{d-1}k_{\parallel}}{(2\pi)^{d-1}} \int_{1/\tilde{M}^2(\Lambda)} \frac{ds}{s} e^{-s G_0^{-1}(k_{\parallel})}$$

where $G_0^{-1}(k) = k^2 + m^2$ and

$M^2(\Lambda)$ or $\tilde{M}^2(\Lambda)$ is a reference scale for EE (or free energy).

- ✓ For each k_{\parallel} mode, EE must be nonnegative for $|k_{\parallel}| \leq \Lambda$:

we choose $M^2 = G_0^{-1}(\Lambda) = \Lambda^2 + m^2$. (cutoffでEEへの寄与が0になるように)

(For proper time reg., it does not matter; we may choose $M = \Lambda$.)

エントロピックc関数からの期待 : $\frac{dS}{d \log \Lambda}$ が central charge を与える

(~理論の自由度)

RG flow and monotonicity of EE in free scalar

For $d = 1$,

$$(g_2 = m^2/\Lambda^2)$$

$$\frac{dS}{d \log \Lambda} = \frac{1}{6} \frac{1}{1+g_2} \text{ (hard cutoff reg.)}, \quad \frac{1}{6} e^{-g_2} \text{ (proper time reg.)}$$

✓ Both coincides with the expectation in the UV/IR limit:

$S \rightarrow 0$ as $g_2 \rightarrow \infty$: IR (massive) limit — No d.o.f. left

$S \rightarrow \frac{1}{6}$ as $g_2 \rightarrow 0$: UV (massless) limit — reproduces the

central charge $c_{\text{boson}} = \frac{1}{6}$ of the Gaussian f.p. CFT

✓ They decrease monotonically as $\Lambda \searrow$ $\left(\Leftrightarrow \frac{d^2 S}{d(\log \Lambda)^2} \geq 0 \right)$

確かに $\frac{dS}{d \log \Lambda}$ が effective な central charge を与える !

RG flow and monotonicity of EE in free scalar

For $d > 1$,

$$\frac{dS}{d \log \Lambda} = \frac{1}{6} \frac{\Omega_{d-2}}{(2\pi)^{d-1}(d-1)} V_{d-1} \Lambda^{d-1} \frac{1}{1+g_2} \quad (\text{for hard cutoff reg.})$$

$$\frac{dS}{d \log \Lambda} = \frac{1}{6} \frac{\Omega_{d-2}}{(4\pi)^{\frac{d-1}{2}}} V_{d-1} \Lambda^{d-1} e^{-g_2} \quad (\text{for proper time reg.})$$

$$(g_2 = m^2/\Lambda^2)$$

RG flowでのmonotonicity $\frac{d^2S}{d(\log \Lambda)^2} \geq 0$ を満たすか確認：各々

$$\frac{d^2S}{d(\log \Lambda)^2} = \frac{1}{6} \frac{\Omega_{d-2}}{(2\pi)^{d-1}(d-1)} V_{d-1} \Lambda^{d-1} \frac{1}{1+g_2} \left(d+1 - \frac{1}{1+g_2} \right) \geq 0 \quad (\because g_2 \geq 0)$$

$$\frac{d^2S}{d(\log \Lambda)^2} = \frac{1}{6} \frac{\Omega_{d-2}}{(4\pi)^{\frac{d-1}{2}}} V_{d-1} \Lambda^{d-1} e^{-g_2} (d-1+2g_2) \geq 0$$

確かに満たす！

相互作用が入った場合

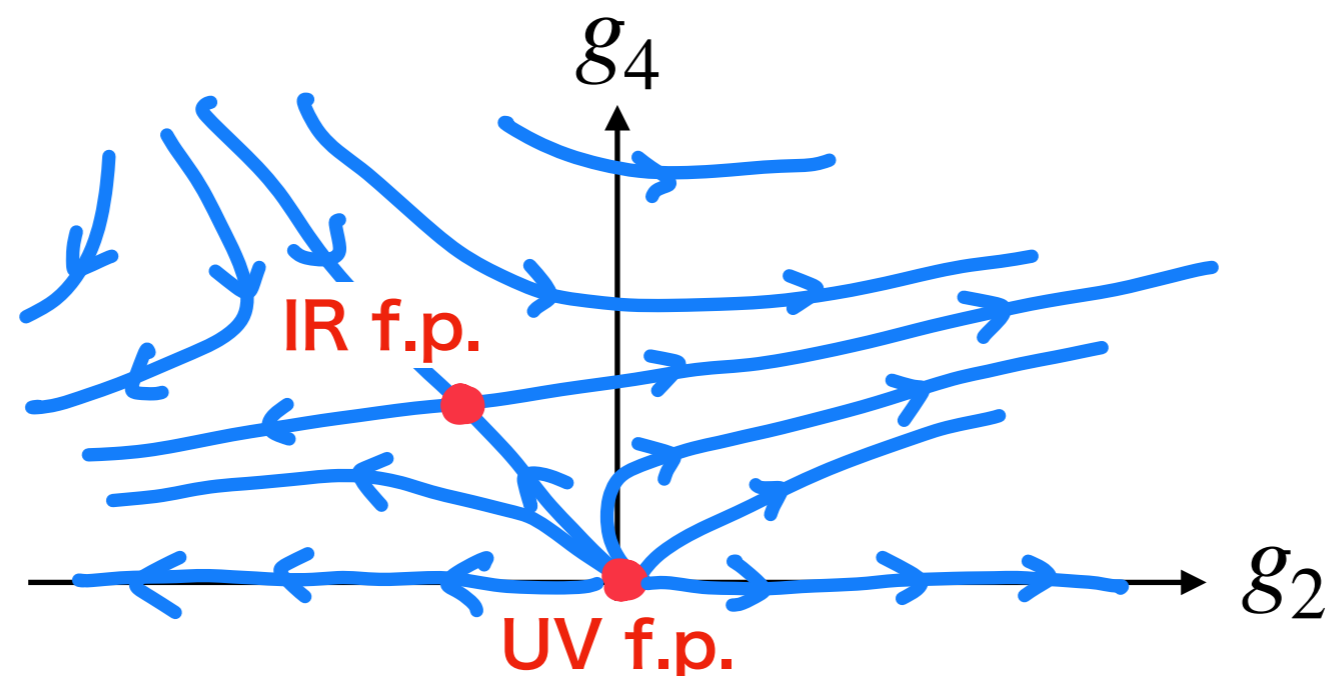
—Wilson-Fisher fixed point in $4 - \epsilon$ dim. を例として—

Wilson-Fisher fixed point and ϵ expansion

In $d < 4$, scalar field theory has a nontrivial IR fixed point a.k.a. Wilson-Fisher fixed point.

In particular, when $d = 4 - \epsilon$, the IR f.p. becomes weakly coupled

→ Analytically tractable using linearized RG eqs.



$$g_2 = m^2/\Lambda^2$$
$$g_4 = \lambda/\Lambda^{4-d}$$

EE in interacting ϕ^4 scalar theory

For convenience, we choose the hard cutoff reg.

The reference scale should be chosen

s.t. (EE for mode k_{\parallel})=0 at $|k_{\parallel}| = \Lambda$ as in free theory.

$$S = -\frac{V_{d-1}}{12} \int^{\Lambda} \frac{d^{d-1}k_{\parallel}}{(2\pi)^{d-1}} \left[\log \left(\frac{G^{-1}(\mathbf{0}, k_{\parallel})}{G^{-1}(\mathbf{0}, \Lambda)} \right) - \log \left(\frac{1 - \frac{3}{2}\lambda G_{\phi^2\phi^2}(\mathbf{0}, k_{\parallel})}{1 - \frac{3}{2}\lambda G_{\phi^2\phi^2}(\mathbf{0}, \Lambda)} \right) \right]$$

Using RG eq., to the 1st order in ϵ , the eff. central chg is

$$\frac{dS}{d \log \Lambda} = \frac{V_{2-\epsilon}\Lambda^{2-\epsilon}}{12} \frac{\Omega_{1-\epsilon}}{(2\pi)^{2-\epsilon}(2-\epsilon)} \left(\frac{1}{1 + g_2^{\text{phys}}} - \frac{\epsilon}{6} \right) + O(\epsilon^2),$$

where $g_2^{\text{phys}} = m_{\text{phys}}^2/\Lambda^2$.

RG flow and monotonicity of EE in interacting ϕ^4 scalar theory

Vicinity of the IR Wilson-Fisher f.p.

$$\frac{dS}{d \log \Lambda} = \frac{V_{2-\epsilon} \Lambda^{2-\epsilon}}{12} \frac{\Omega_{1-\epsilon}}{(2\pi)^{2-\epsilon} (2-\epsilon)} \left(1 + \frac{\epsilon}{18} + O(\epsilon^2) \right)$$

Vicinity of the UV Gaussian f.p.

$$\frac{dS}{d \log \Lambda} = \frac{V_{2-\epsilon} \Lambda^{2-\epsilon}}{12} \frac{\Omega_{1-\epsilon}}{(2\pi)^{2-\epsilon} (2-\epsilon)} \times 2$$

確かにUVの方がIRより大きい

2回微分はRG eq.を2回使うことで計算できる：

$$\frac{d^2 S}{d(\log \Lambda)^2} = \frac{V_{2-\epsilon} \Lambda^{2-\epsilon}}{12} \frac{\Omega_{1-\epsilon}}{(2\pi)^{2-\epsilon}} \left(1 + \frac{\epsilon}{9} \right) + O(\epsilon^2) > 0$$

確かに示された！

Pros and cons

【利点】

- 従来のentropic c-functionと異なり、**CFT以外でも計算可**
- 有限のintervalで考える必要がない
- CFT以外ではlength l 以外のスケールがあるため、 l に関する単調性がRG flowでの単調性に完全に等価であるかは微妙であったが、**今回は直接cutoffに対する応答を見ている**

【欠点】

- c関数がcutoff-dependentなため、正則化による
但し、UVで0になるような良い正則化を選ぶとc関数にはなる
- Cutoffをあらわに変えるため、数値的な確認が難しい

まとめ

- 半空間のEE in 相互作用する場の理論を使って、Wilson流くりこみの観点からcutoff依存性をあらわに見た
- Cutoff依存のeffectiveな中心電荷が定義でき、自由場でRG flowの単調性も示された
- さらに先行研究で求めた公式を用いて、非自明なIR固定点としてWilson-Fisher f.p.を ϵ 展開で調べた
この場合も確かに単調性が確認された

今後の課題

- 先行研究[Metlitski-Fuertes-Sachdev '09, Whitsitt-Witczak-Krempa-Sachdev '17, Akers et al. '16, Chen-Dai et al. '21]との比較
- 正則化によらない定義